







STENTING, LE POINT SUR LA BIOCOMPATIBILITÉ



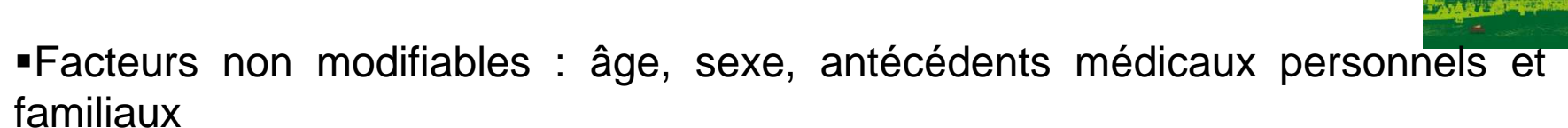


N. Blanchemain, F. Chai, M. Gargouri, J. Sobocinski, S. Haulon

Maitre de conférence, Université Lille 2, Faculté de Pharmacie et de Médecine de Lille

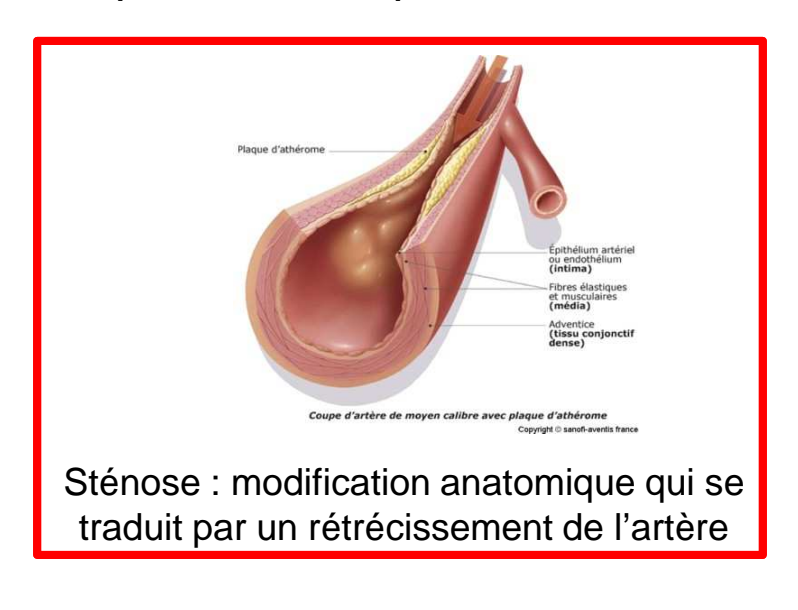
Les maladies cardiovasculaires

Première cause de mortalité dans les pays occidentaux



■ Facteurs de risques modifiables : Cholestérol, diabète, hypertension, consommation de tabac, surpoids et sédentarité

Conséquences cliniques





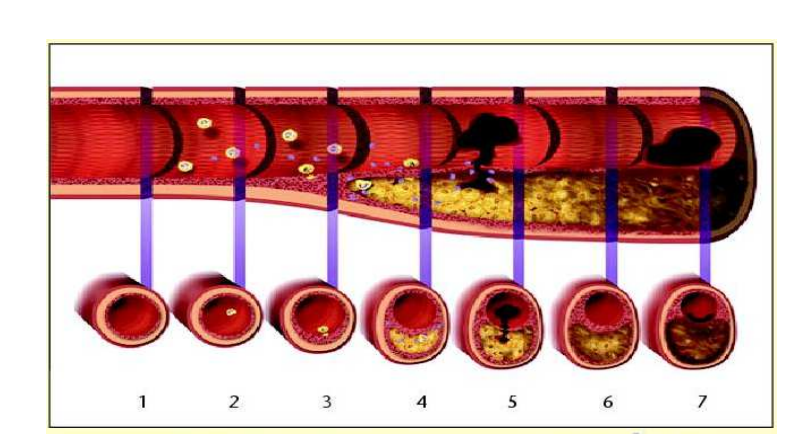


Anévrisme : Dilatation localisée de la paroi d'une artère aboutissant à la formation d'une poche.



L'athérosclérose

Prise en charge médicamenteuse





Plaque d'athérome d'une coupe de la carotide

Statines

- ■Inhibition de l'HMG-Coenzyme A réductase
- Anti-inflammatoires
- ■Stabilisation de la plaque par une inhibition de la minéralisation

AAP : Clopidogrel

- ■Effet vasodilatateur
- ■Diminution de la réactivité des CML

Cilostazol

- Vasodilatateurs
- ■inhibe la prolifération des CMLs
- ■Rôle antiangiogénique

Héparines

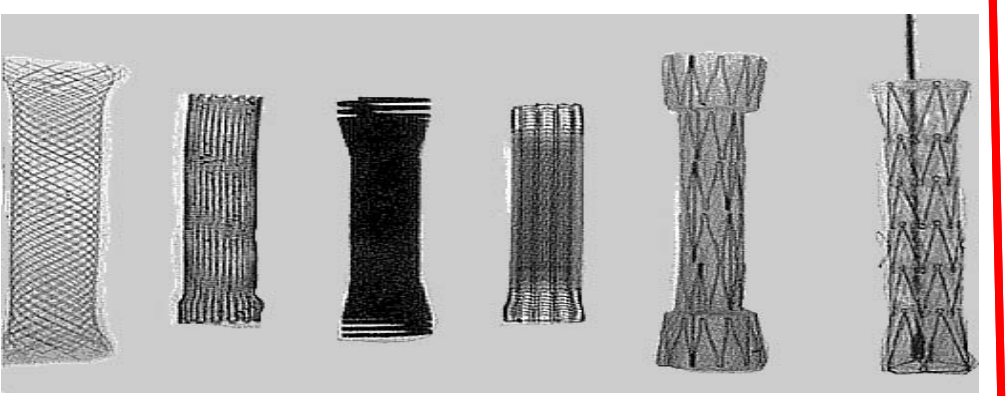
- Action anticoagulantes: facteurs IIa et Xa
- Limite la migration et prolifération des CMLs



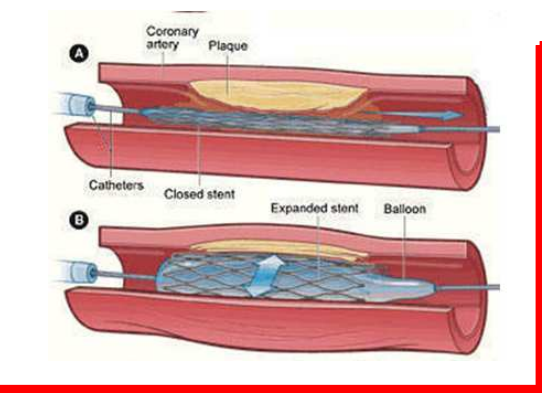


Prothèse vasculaire en PET tissé/ tricoté (Dacron®) ou en PTFE (Teflon®) pour le pontage



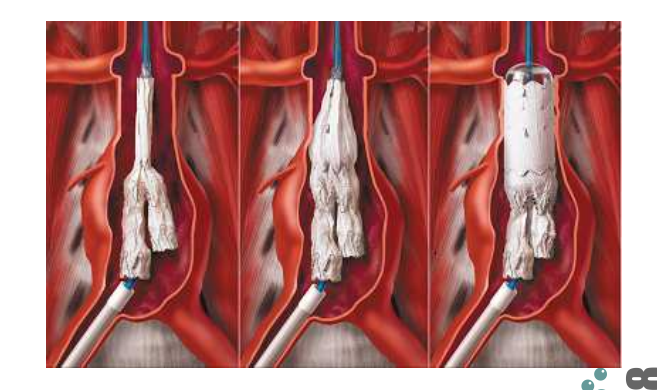


Stent nu métallique en alliage de titane, acier inoxydable ou CoCr pour rouvrir la lumière artérielle (sténose)





Stent couvert ou endoprothèse pour la dilatation d'artère (anévrisme)

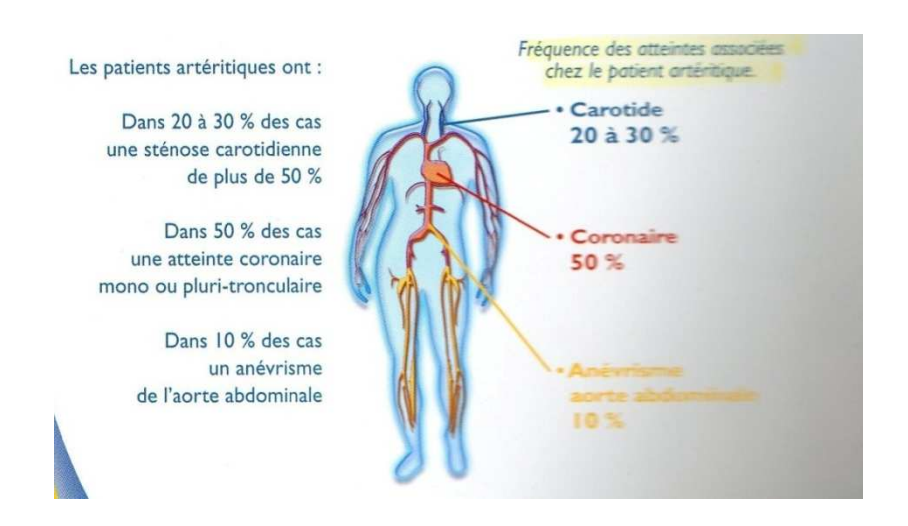


Quelles solutions?

Les stents métalliques



Localisation préférentielle



Différents matériaux

- Acier 316L
 - Ballon expansible
 - Auto expansible
- ■CoCr
 - Ballon expansible
- NiTiNOL
 - Auto-expansible



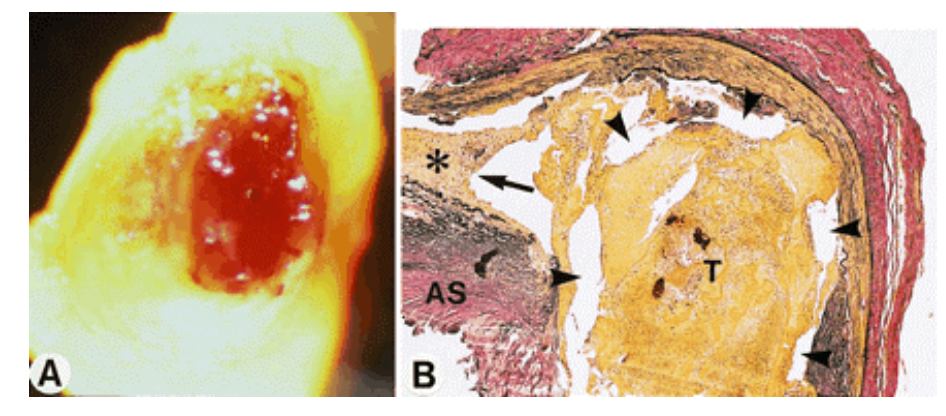


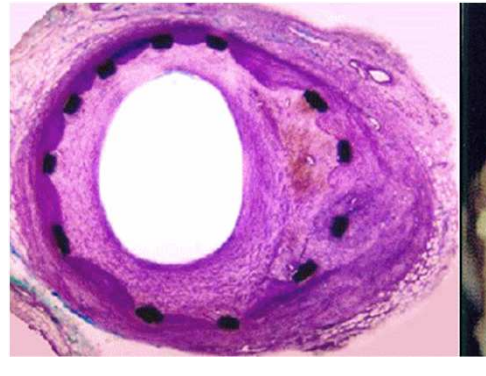
Thrombose

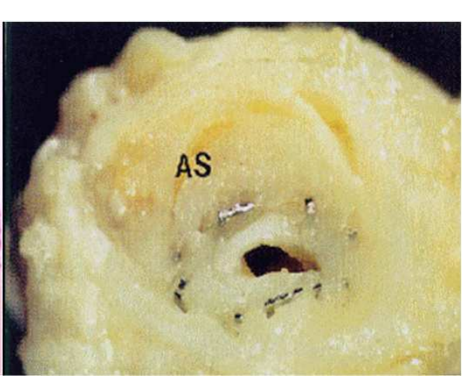
■Précoce et aigue, 5 % des cas avec une inflammation importante

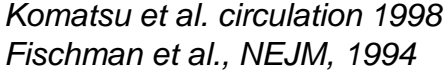
Resténose intra-stent

- ■Tardive et progressive, 30% à 6 mois *vs* 45% pour l'angioplastie
 - → Hyperplasie néointimale
- Cellules musculaires lisses
- ■Réaction inflammatoire (cellules géantes et macrophages)
- ■Néo-angiogénèse





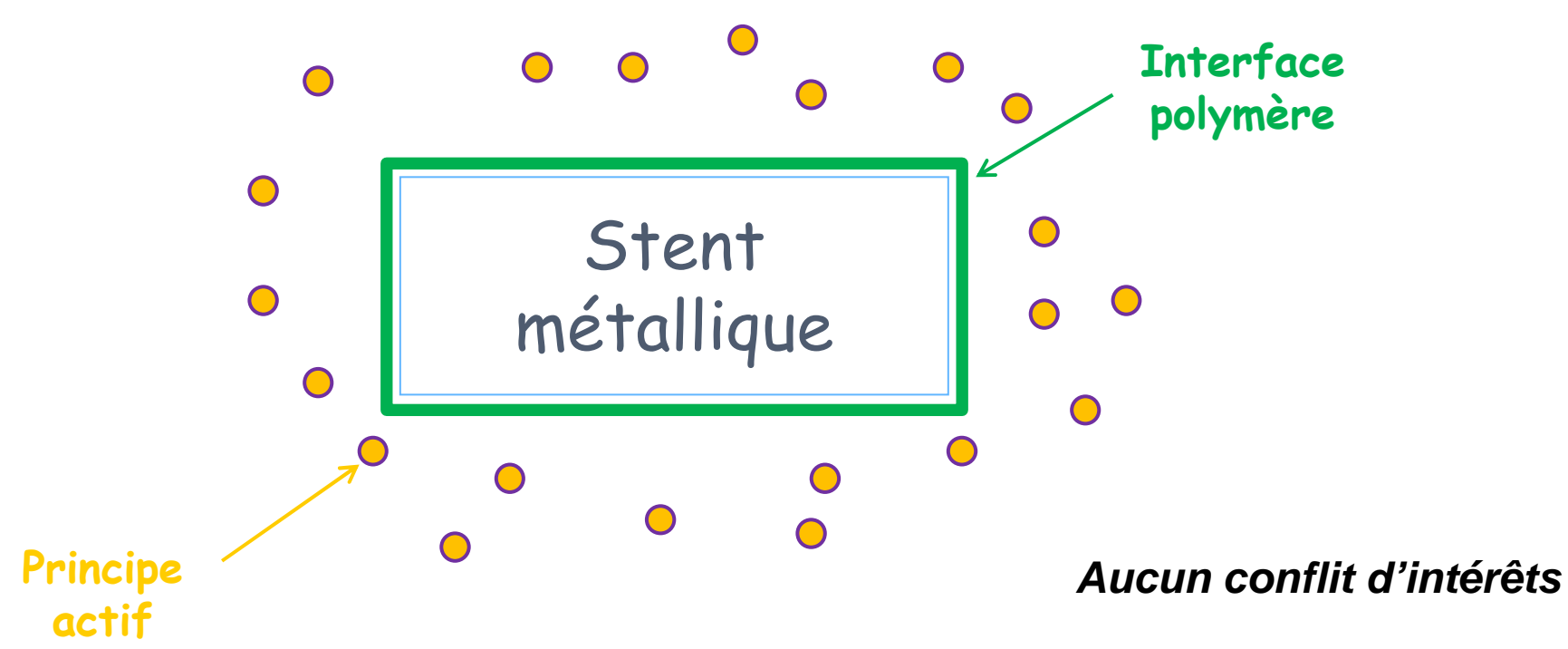








La cible : les cellules musculaires lisses La protection : les cellules endothéliales







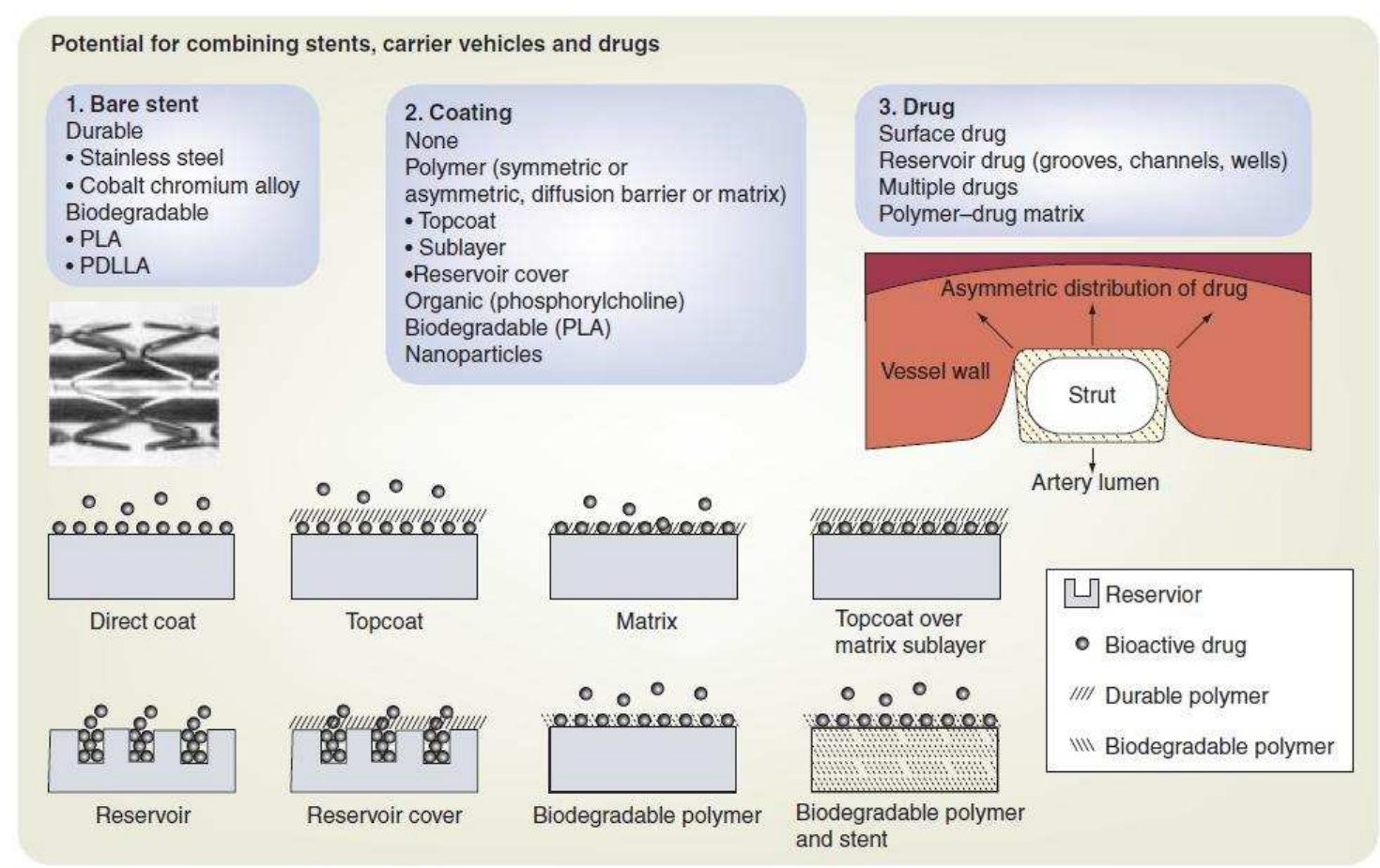


Figure 2. Components of drug-eluting stents. PLA: Polylactic acid.

Grube et al., Expert Rev Med Device, 2006

Sans matrice polymère

9-10-11 OPTOBRE 2012 EURO-PHARMAT 22 immi journées nationales sur les dispositis médicans eur les dispositis médicans europées nationales sur les dispositis médicans europées nationales nationales europées nationales nationales nationales nationales europées nationales nationales

Zilver PTX Stent, Cook Médical

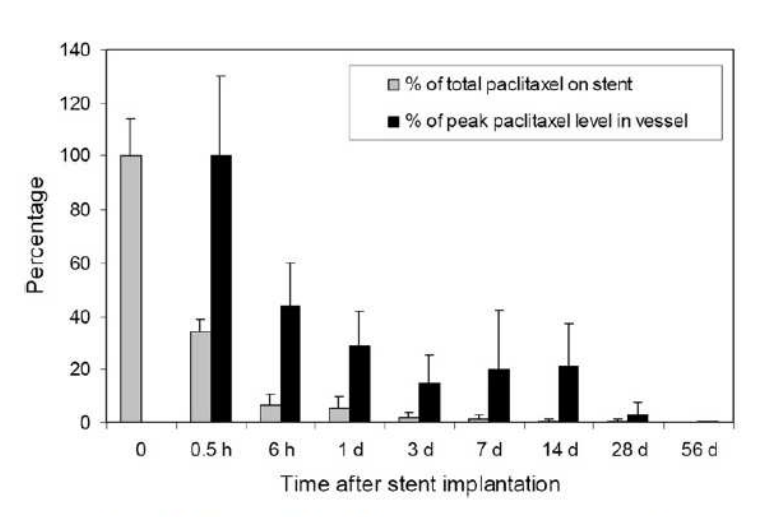


Figure 2. Relative paclitaxel levels remaining on the stent and in the artery with stent implanted over time (h = hours, d = days). Gray bars show the amount of paclitaxel remaining on stent (n = 8 each) expressed as a percentage of the total paclitaxel carried by an unimplanted stent (100% gray bar shown at 0 h). Black bars show the amount of paclitaxel in artery with stent implanted (n = 8 each) expressed as a percentage of the peak arterial level (100% black bar shown at 0.5 h). Error bars represent standard deviations.

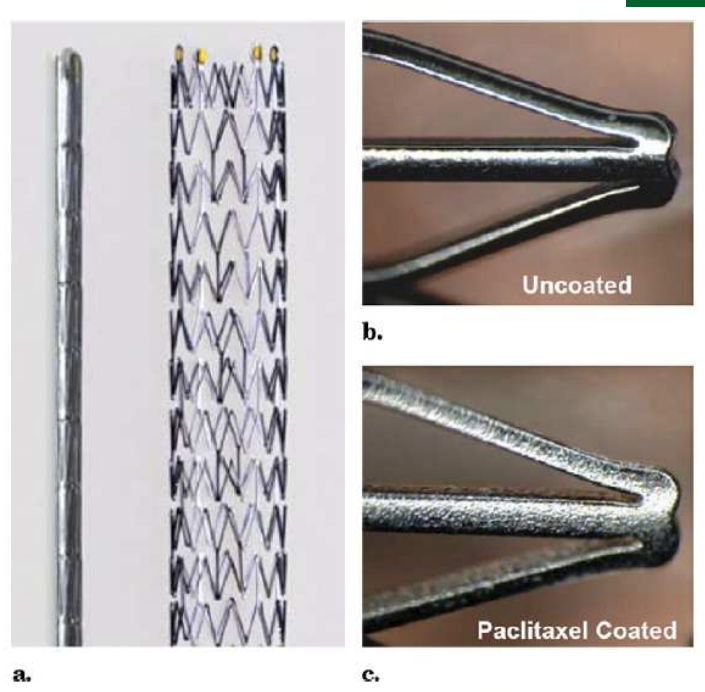


Figure 1. Zilver PTX drug-eluting stent (Cook Medical, Inc, Bloomington, Indiana). (a) Compressed (left) and fully expanded (right) stent. (b,c) Close-up views of bare stent struts and stent struts with the polymer-free paclitaxel coating. (Available in color online at www.jvir.org.)

Dake et al., J Vasc Interv Radio, 2011

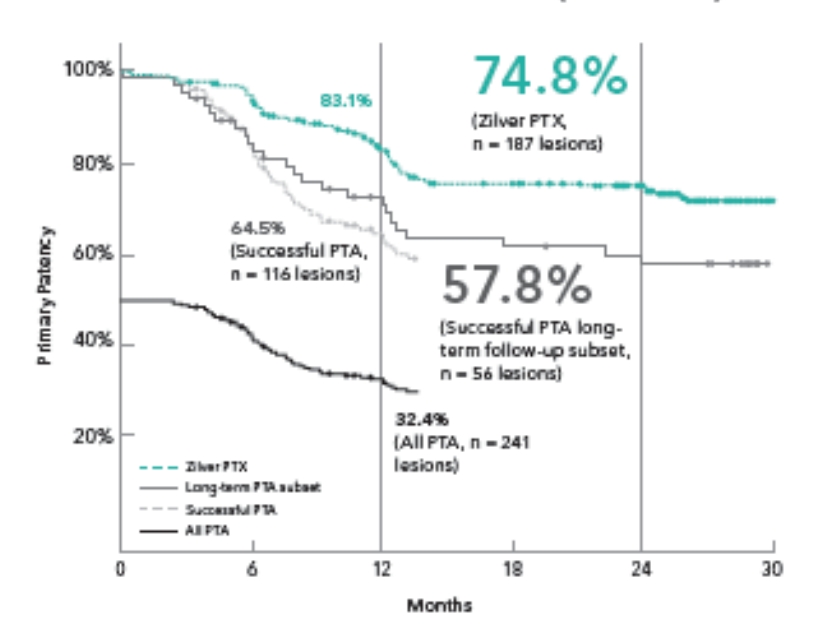


Sans matrice polymère





24-MONTH PRIMARY PATENCY (PSVR < 2.0)



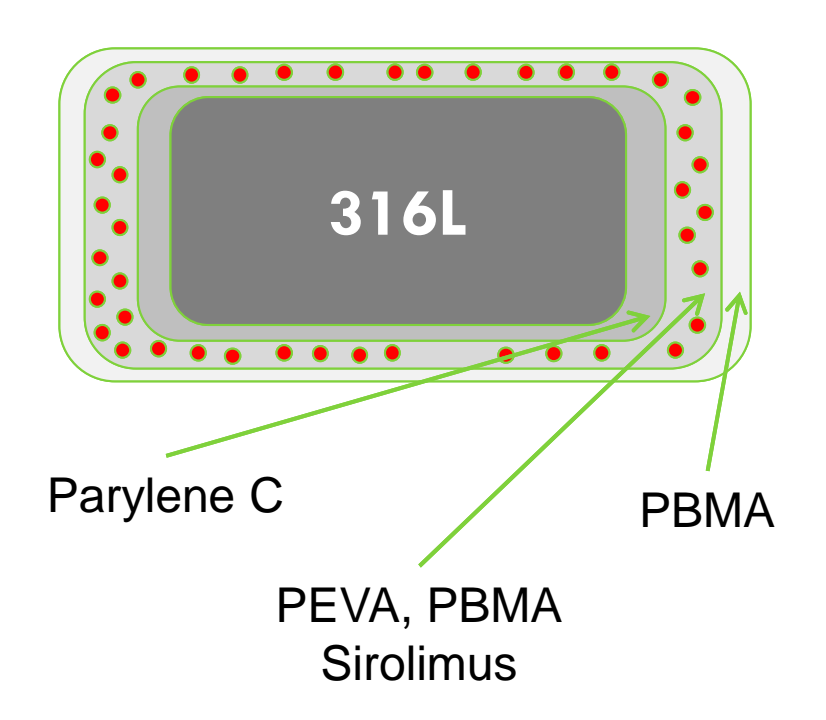




Polymère non résorbable

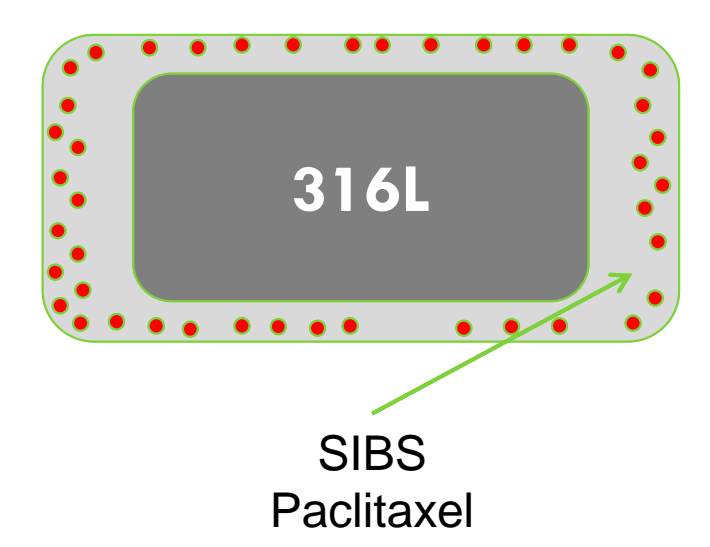
11

Cypher, Johnson & Johnson, Cordis



PEVA : Poly Ethylène-co-vinyl acétate PBMA : Poly-n-butyl méthacrylate

Taxus, Boston Scientific



SIBS: Poly Styrène isobutylène styrène



Polymère non résorbable



Cypher, Johnson & Johnson, Cordis

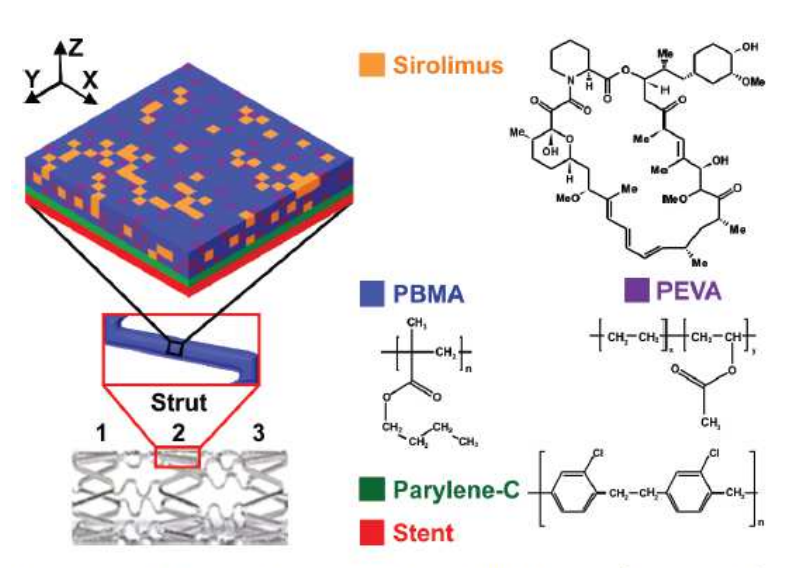


Figure 1. Side-view schematic of the CYPHER stent (bottom left) with strut locations 1–3 separated by purple dashed lines. A location on strut 2 is magnified (red box), with an ROI outlined (black box) and remagnified. A 3D schematic of the ROI (upper left) shows sirolimus, PBMA, PEVA, parylene-C, and the stent represented by color-coded orange, blue, purple, green, and red blocks, respectively. The chemical structures of all coating components are shown.

- Polymère PEVA (Poly Ethylène-covinyl acétate) / PBMA (Poly-n-butyl méthacrylate) non résorbable avec un ratio de 67/33.
- Polymères biocompatibles
- ■Epaisseur totale des couches de polymères 12,6 μm
 - ■2 µm de parylène-C
 - ■10µm de PEVA/PBMA/sirolimus
 - ■0.6µm de PBMA
- ■Sirolimus 1 μg/mm²



Polymère non résorbable



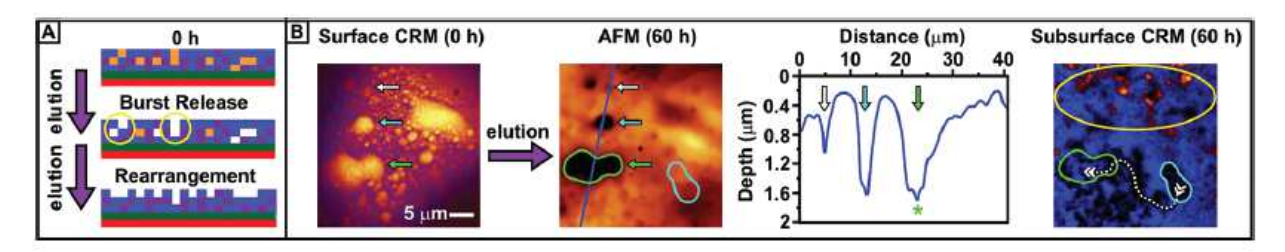
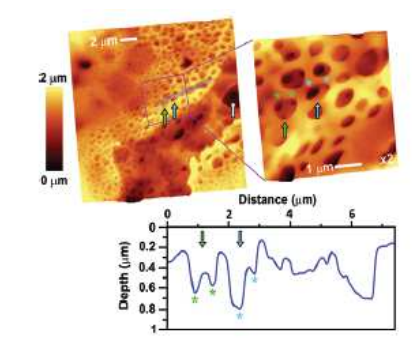


Figure 5. (A) Schematic representation of the elution process. The regions outlined in yellow mark locations where pore throat structures would be expected. (B) Locations of three drug-rich regions marked by white, light-blue, and green arrows in the surface CRM image at t = 0 h corresponding to three pores in the AFM image at 60 h of elution. An AFM line scan profile (blue line) of the three pores reveals a pore throat (green asterisk) at the base of the surface pore outlined in green. The phantom pore location (light-blue outline) is highlighted in both the AFM and subsurface CRM images (far right) at 60 h of elution. A dashed pathway in the subsurface CRM image navigates the vacated subsurface drug micronetwork from the phantom pore location to the location of the pore throat. A yellow oval marks isolated drug-rich pockets still present beneath the surface.

- Diffusion du Sirolimus, pas d'élimination du polymère
- ■50% de libération en 10 jours, 90% en 60 jours, 100% après 90 jours

Raval et al., Mechanism of Controlled release Kinetics from Medicam devices, 2010



Biggs et al., Langmuir, 2012



Polymère non résorbable

14

Taxus, Boston Scientific

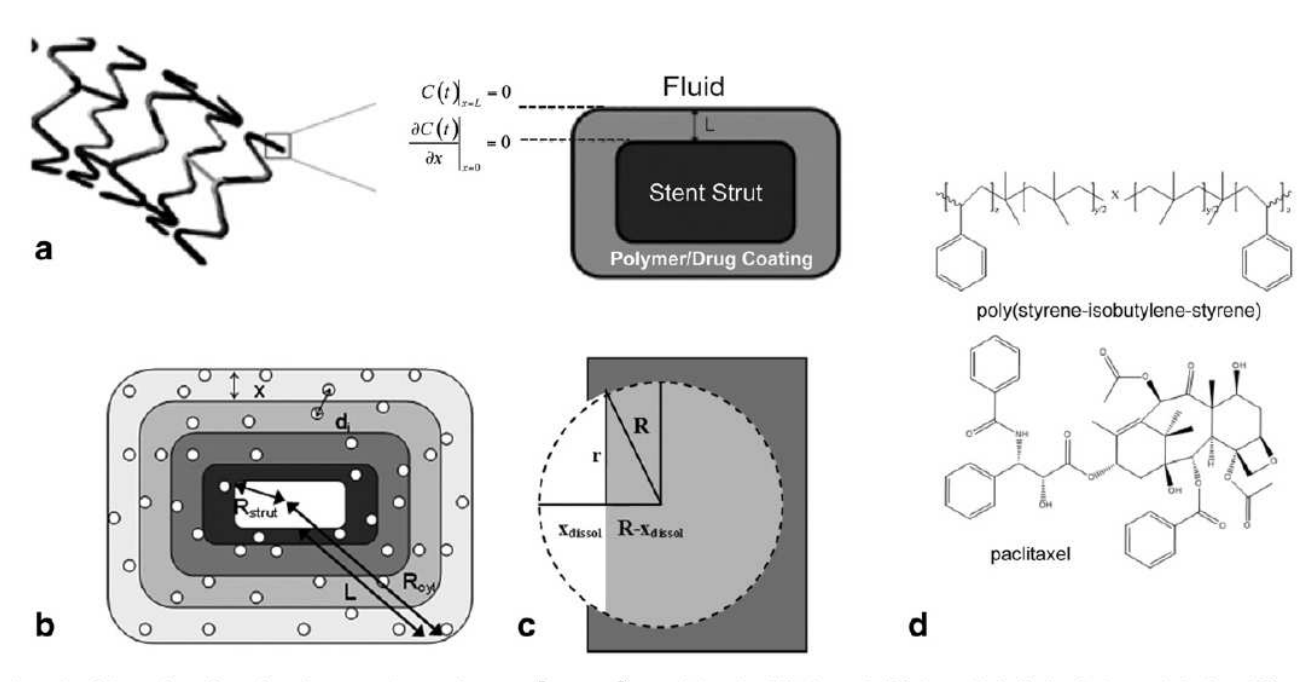


Fig. 1. Schematic of drug release from the polymer coating on the TAXUS® Express® stent. (a) In the diffusion and diffusion with bulk dissolution models, drug diffuses from the polymer phase to the fluid phase. The flux is zero at the stent-strut interface, such that $\partial C/\partial x|_{x=0} = 0$, and sink conditions are maintained at the polymer-fluid interface, such that C(x=L) = 0. (b) In the osmotic gradient model, a metal strut of radius R_{strut} is coated with polymer containing drug. The polymer coating is of thickness L, yielding a total cylinder radius of $R_{cyl} = R_{strut} + L$. Individual drug particle centers are separated by d_l . The cross section of the cylinder is divided into concentric annuli of width x, the average distance between particle centers, which is a function of loading percent and average particle radius. (c) In the surface dissolution model, a moving front of fluid dissolves particles of drug with convective transfer coefficient, h. The exposed particle surface area (m^2) is a function of dissolution depth (x_{dissol}) and time (t). (d) Chemical structures of poly(styrene—isobutylene—styrene) (SIBS) and paclitaxel (PTx).

Sirianni et al., J. Controlled Release, 2012



Polymère non résorbable

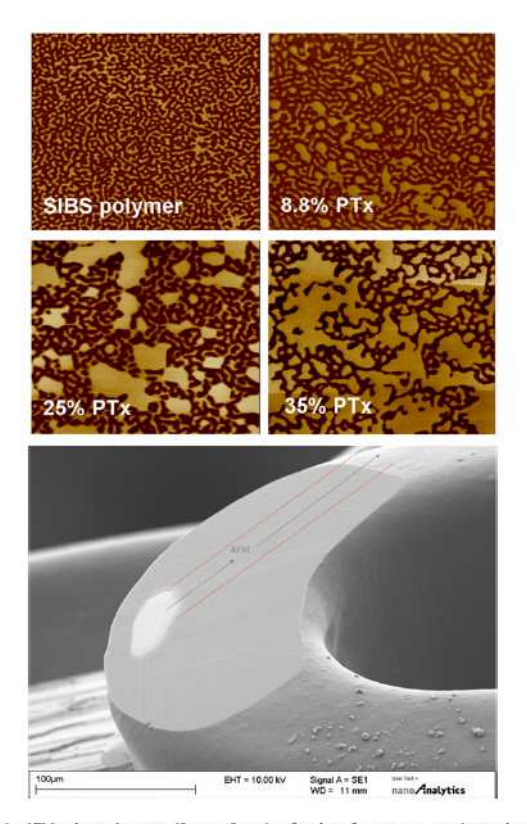


Fig. 4. AFM phase images $(2 \, \mu m \times 2 \, \mu m)$ of subsurface stent coatings showing morphology of SIBS polymer without drug and with paclitaxel incorporated at 8.8, 25 or 35% loading of drug in polymer [2]. Images highlight the two-phase morphology of the polymer as well as the distribution and increasing size of drug depots (large light colored spaces) as percent drug loading increases, The SEM (lower panel) shows a typical coated stent after cryomicrotomy preparation of subsurface samples for AFM.

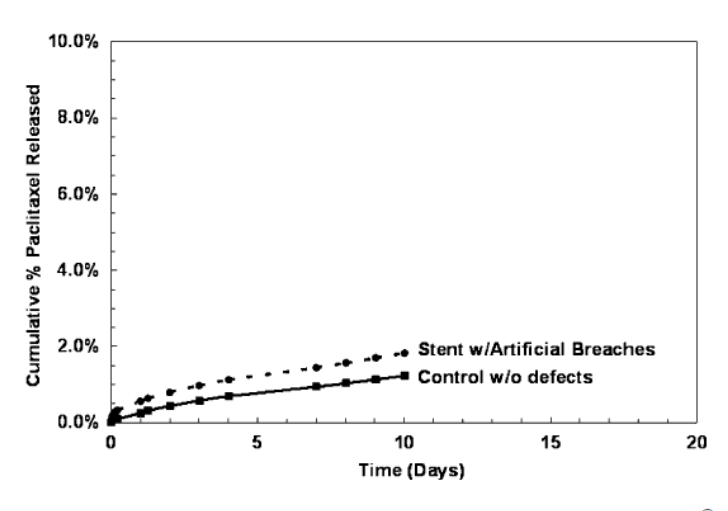


Fig. 6 Percent cumulative paclitaxel release from TAXUS® Express® Paclitaxel-Eluting Coronary Stents with simulated coating breaches

- Elution du Paclitaxel avec un profil bi-phasique
- ■10% de libération après 10 jours, 90% du Paclitaxel reste piégé dans le polymère

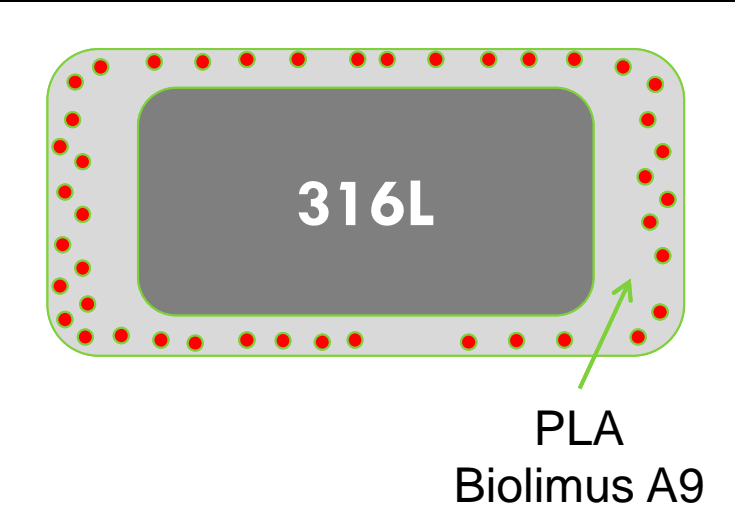
Sirianni et al., J. Controlled Release, 2012 Boden et al., J. Mater Sci: Mat Med, 2009



Polymère résorbable



Biomatrix, Biosensors Interventional Technologies



- ■PLA bio-résorbable (6-9 mois), épaisseur 15 μm
- ■Chargement 50/50 en PLA/Biolimus A9
- ■15.6 µg de Biolimus par mm de stent
- Libération pendant 4 semaines

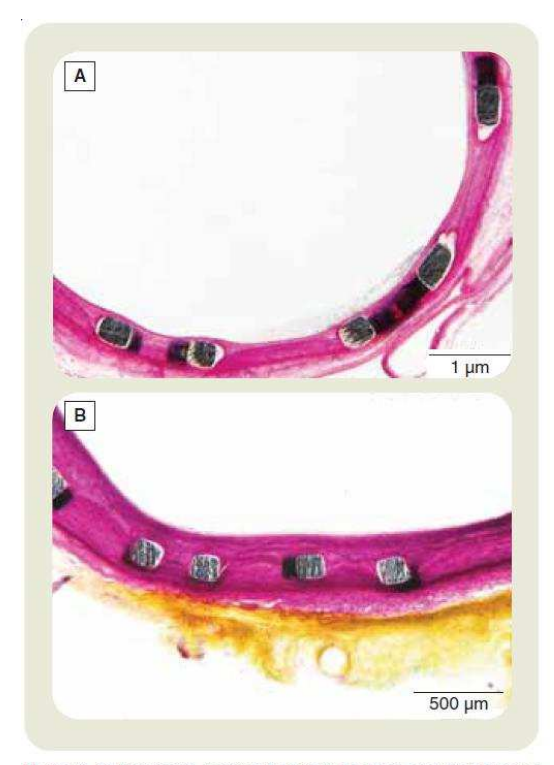


Figure 8. BioMatrix 28-day histology in the porcine overstretch model.

Grube et al., Expert Rev Med Device, 2006









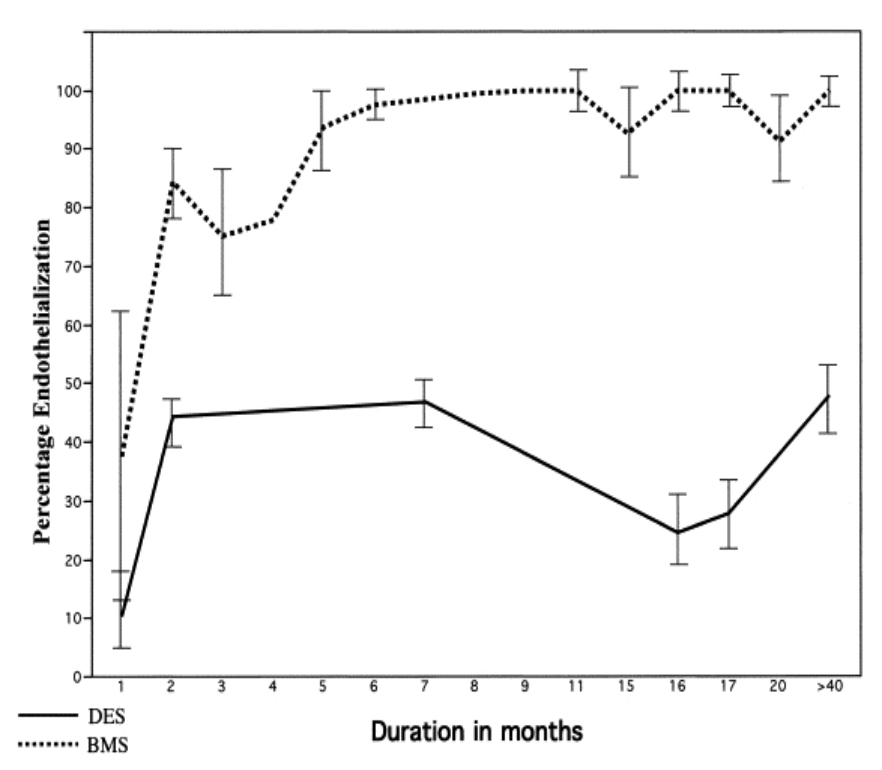


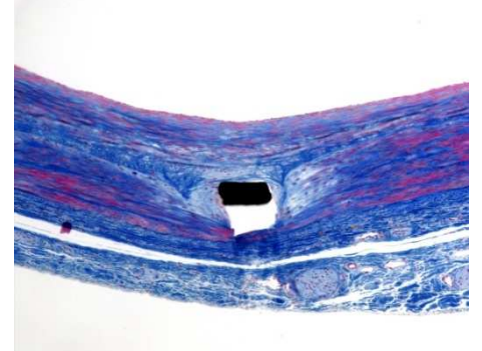
En coronaire, aucun n'a montré sa supériorité par rapport à l'autre

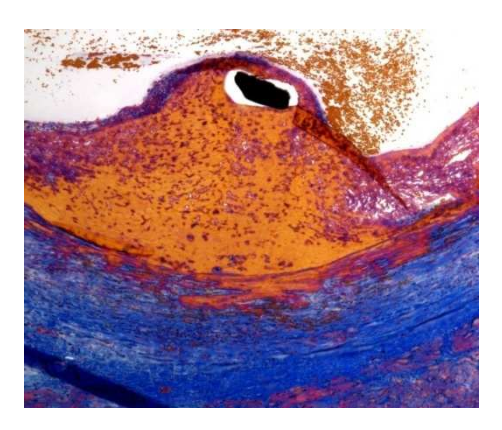




On réduit prolifération des CML...







... Mais on réduit la prolifération des cellules endothéliales ...



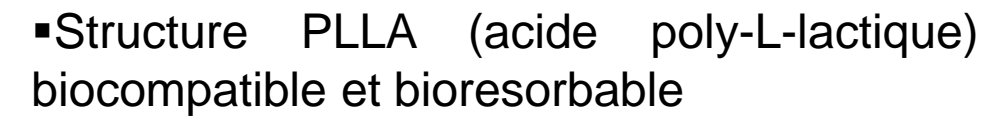
Drug eluting stent: nouvelles pistes?

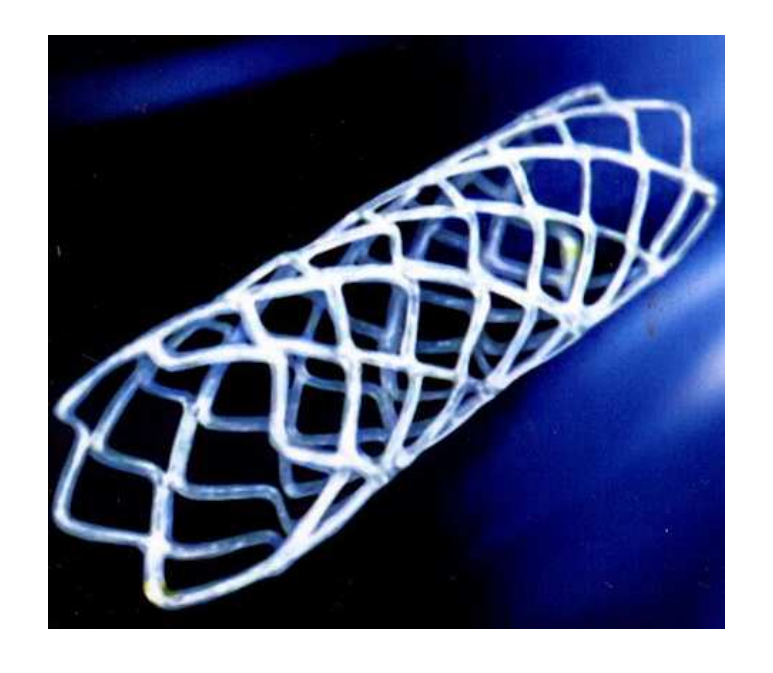
Polymère adsorbable











- ■Etude à long terme → application coronaire
- ■Marque CE et FDA dans 2 ans (prévision)

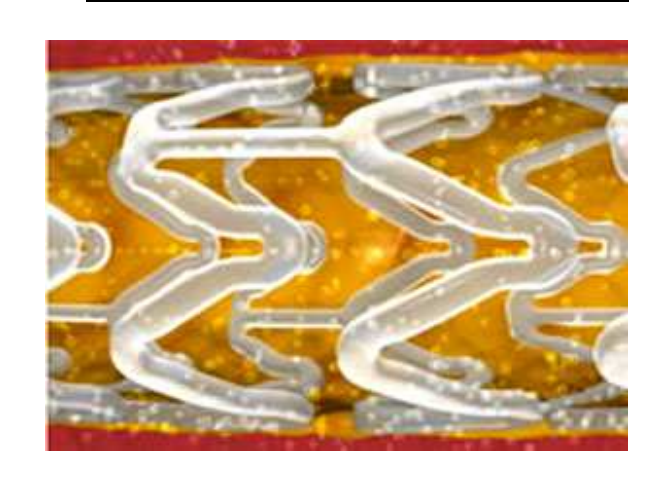


Drug eluting stent: nouvelles pistes?

Polymère adsorbable



Adsorb, Abbot Vascular



■Structure PLLA (acide poly L-lactique) et PDLLA (acide poly D-L-lactique) biocompatible et bio résorbable (2 ans)



- La matrice polymère est chargée d'évérolimus
- ■Stent en test aux USA, pas de marquage
- ■Pas de thrombose et pas d'AAP







Molécules antiprolifératives immunosuppressives:

- Analogues de la Rapamycine (Everolimus ou Tacrolimus)
- Sirolimus
- Paclitaxel
- Biolimus
- Zotarolimus



ORIGINAL ARTICLE
Cardiovascular Intervention

First-in-Man Study of Simvastatin-Eluting Stent in De Novo Coronary Lesions

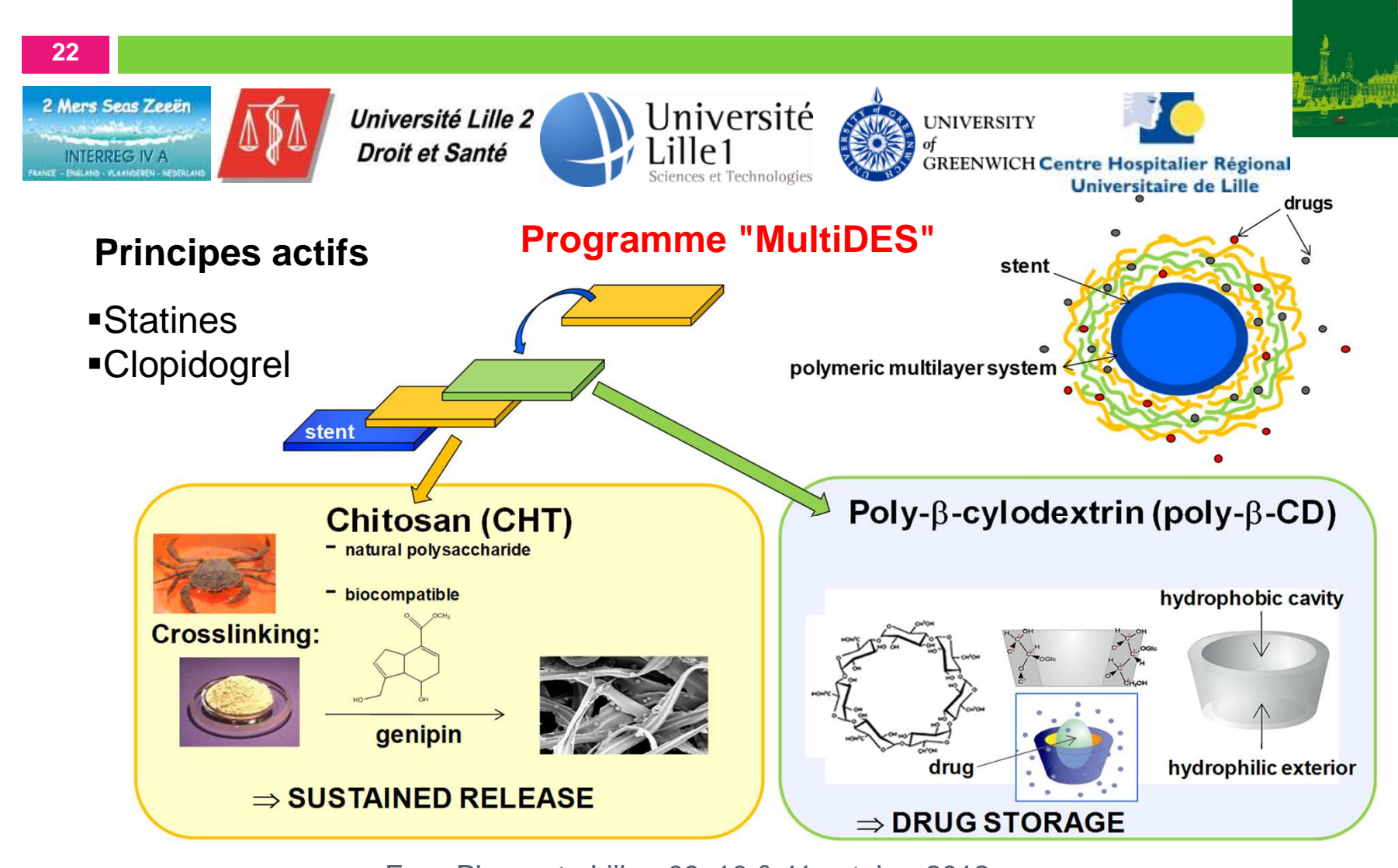
- The SIMVASTENT Study -

Alexandre C. Zago, MD, PhD; Bruno S. Matte, MD; Luciana Reginato; Germán Iturry-Yamamoto, MD, PhD; Ana Krepsky, MD; Luiz Carlos C. Bergoli, MD; Julise Balvedi; José C. Raudales, MD, PhD; Eduardo K. Saadi, MD, PhD; Alcides J. Zago, MD, PhD

- ■Stent 316L chargé à 0,4 µg/mm² de simvastatine
- ■Polymère bio-résorbable
- ■30% de simvastatine libérée en 14 jours et 40% en 30 jours
- ■Patients traités ensuite avec clopidogrel
 - → pas assez de patients (28)
 - → Augmenter la quantité de simvastatine



Drug eluting stent: l'avenir?





Conclusion



Evolution des matériaux de choix pour les DES

- ■Base Métallique (CoCr, 316L, NiTiNOL)
 - Polymères non résorbables
 - Polymères résorbables
- ■Base polymère
 - ■Polymères à base d'acide lactique

Evolution des principes actifs pour les DES

- Paclitaxel et sirolimus
- ■Dérivés de sirolimus , biolimus , everolimus , Zotarolimus

Vers de nouvelles perspectives

- ■Seuls quelques stents ont été présentés dans ce document (Xience, Abott; Endeavour, Medtronic, etc…)
- ■Perspectives vers de nouvelles drogues plus sélectives?

